



# Implementing path-following techniques for structural non-linear analysis using Cast3M

Club Cast3M 2020, 27 novembre 2020

DE LA RECHERCHE À L'INDUSTRIE

Hugo Luiz OLIVEIRA, Giuseppe RASTIELLO, Alain MILLARD

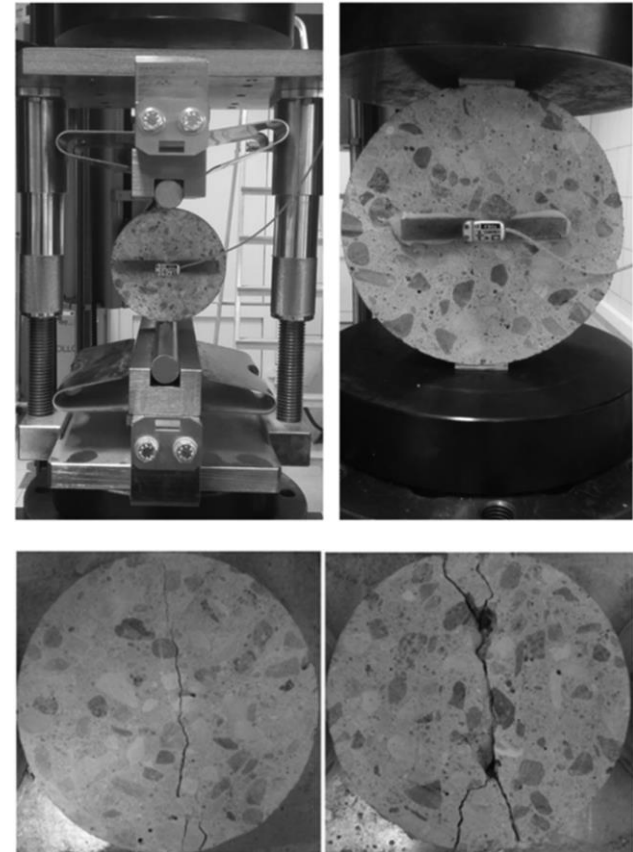
Université Paris-Saclay, CEA, Service d'études mécaniques et thermiques, 91191, Gif-sur-Yvette, France

Ibrahim BITAR, Benjamin RICHARD

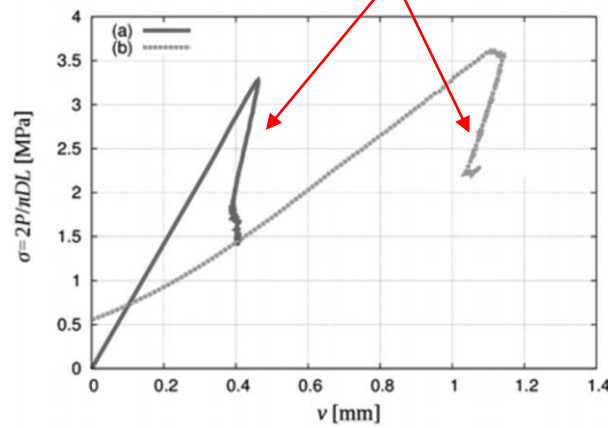
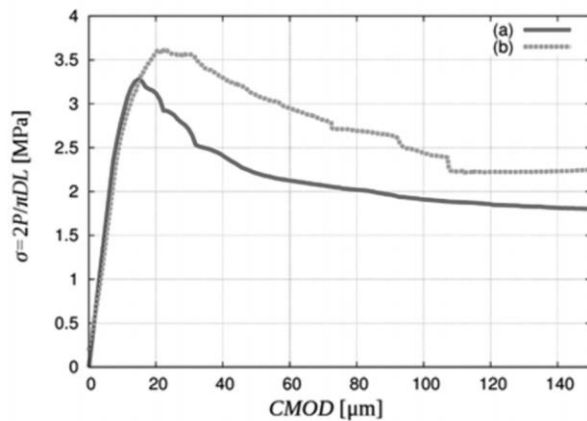
Institut de Radioprotection et de Sûreté Nucléaire (IRSN), PSN-EXP/SES/LMAPS, 92262 Fontenay-aux-Roses Cedex, France

Dans le domaine de l'ingénierie des structures, les ruptures « brusques » demeurent une préoccupation majeure.

Il est possible d'observer des comportements instables en laboratoire (ex., *essai de fendage*)

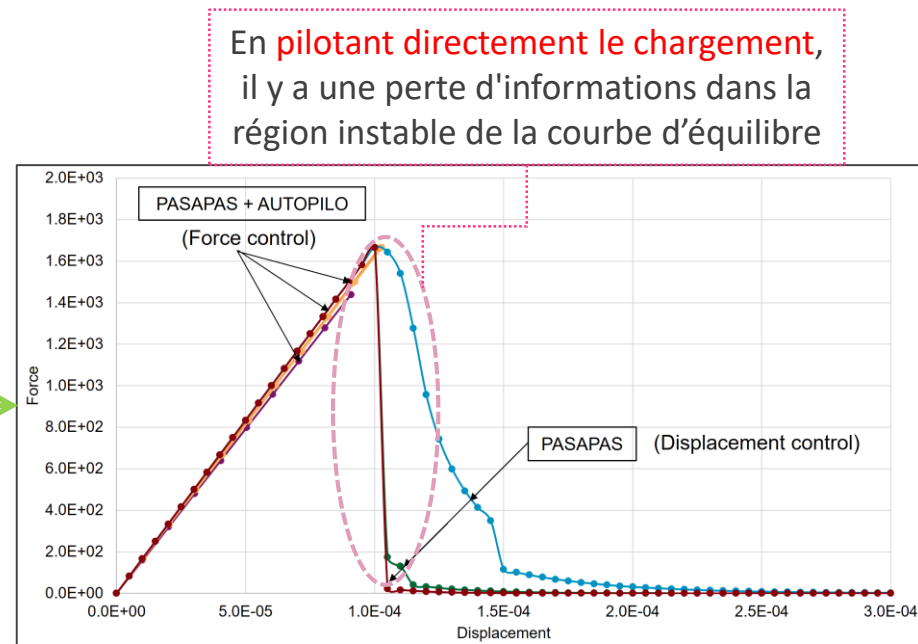
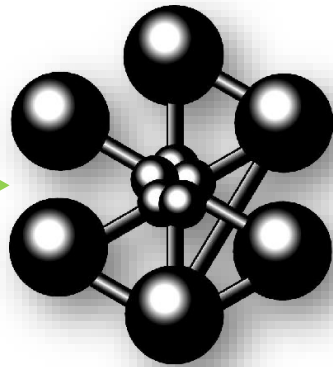
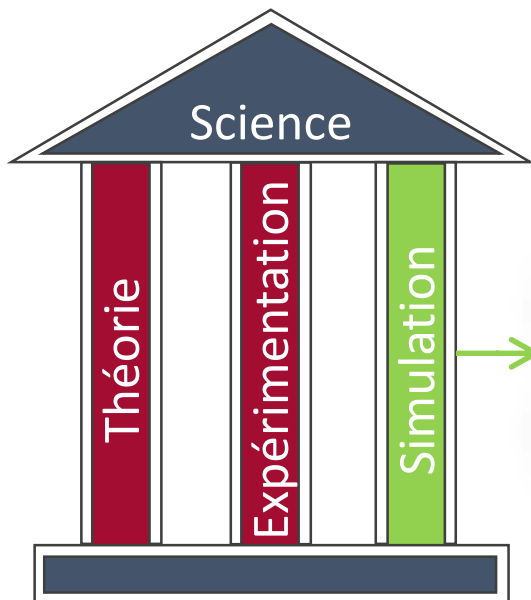


Snap-back



Suchorzewski, J., & Tejchman, J.. Size effect in concrete under splitting tension. In *Computational Modelling of Concrete Structures: Proceedings of EURO-C 2018, February 26-March 1, 2018, Bad Hofgastein, Austria* (p. 437). CRC Press

G. Rastello, C. Boulay, S. Dal Pont, J.L. Tailhan, P. Rossi, Real-time water permeability evolution of a localized crack in concrete under loading, *Cement and Concrete Research*, 2014



## OBJECTIF

Proposer des mises à jour dans CAST3M permettant de piloter le chargement de manière indirecte. Ces mises à jour doivent être adaptée aux matériaux sensibles aux instabilités locales (lois de comportement du type adoucissement)

- 1. Formulation des éléments finis**
- 2. Formulation EF avec contrainte cinématique**
- 3. Stratégie de résolution**
  - 3.1 Méthode CNDI (Control by Nodal Displacement Increment)**
  - 3.2 Méthode CMSI (Control by Max Strain Increment)**
  - 3.3 Méthode CMEP (Control by Max Elastic Predictor)**
  - 3.4 Implémentation dans Cast3M**
- 4. Applications en analyse non-linéaire de structures**
- 5. Conclusions et perspectives**

# 1. Formulation des éléments finis (EF)

Le chargement externe évolue pendant le calcul pour respecter un certain critère de pilotage (ex. : l'incrément de déplacement relatif entre deux points/nœuds est constant, la variation maximale d'une mesure de déformation dans le système est constante...)

## ❑ Problème standard

$$\mathbf{r}(\mathbf{d}) = \mathbf{A} \int_{\Omega_e} \mathbf{B}^T \boldsymbol{\sigma}(\mathbf{d}) dv - \mathbf{f}_{\text{ext}} = 0$$

## ❑ Formalisme de type « méthodes arc-length » (Riks, 1972; Ramm, 1980; Crisfield 1983...)

$$\mathbf{r}(\mathbf{d}, \eta) = \mathbf{A} \int_{\Omega_e} \mathbf{B}^T \boldsymbol{\sigma}(\mathbf{d}) dv - \mathbf{f}_{\text{impo},0} - \eta \hat{\mathbf{f}} = 0$$

Paramètre de chargement

Direction du chargement (force)

$$P(\mathbf{d}, \eta; \tau) = 0$$

Equation de pilotage

## ❑ Une nouvelle inconnue, $\eta$ , et une nouvelle équation, $P(\mathbf{d}, \eta; \tau) = 0$

## ❑ Problème linéarisé

$$\underbrace{\mathbf{f}_{\text{ext,impo}} + \eta^k \hat{\mathbf{f}} - \mathbf{f}_{\text{int}}^k}_{:= -\mathbf{r}^k} + \delta \eta^{k+1} \hat{\mathbf{f}} = \mathbf{K}^k \delta \mathbf{d}^{k+1}$$

E Riks. The Application of Newton's Method to the Problem of Elastic Stability. *American Society of Mechanical Engineers*, 1972

E Ramm. Strategies for tracing the nonlinear response near limit points. In *Nonlinear finite element analysis in structural mechanics*, pages 63–89. Springer, 1981

M. Crisfield. An arc-length method including line searches and accelerations. *International journal for numerical methods in engineering*, 19(9):1269–1289, 1983.

## 2. Formulation EF avec contrainte cinématique

- Formalisme « arc-length » avec doubles multiplicateurs de Lagrange :

Equation de pilotage

$$\begin{cases} \mathbf{f}_{\text{int}}(\mathbf{d}) + \mathbf{C}^\top \boldsymbol{\lambda}_1 + \mathbf{C}^\top \boldsymbol{\lambda}_1 - \mathbf{f}_{\text{impo}} - \eta \hat{\mathbf{f}} = \mathbf{0} \\ \mathbf{C}\mathbf{d} + \boldsymbol{\lambda}_1 - \boldsymbol{\lambda}_1 - \mathbf{d}_{\text{impo}} - \eta \hat{\mathbf{d}} = 0 \\ \mathbf{C}\mathbf{d} - \boldsymbol{\lambda}_1 + \boldsymbol{\lambda}_1 - \mathbf{d}_{\text{impo}} - \eta \hat{\mathbf{d}} = 0 \\ P(\mathbf{d}, \eta; \tau) = 0 \end{cases}$$

Direction du chargement (force)

Direction du chargement  
(déplacement)

Paramètre de chargement

- Problème linéarisé :

$$\begin{cases} \mathbf{f}_{\text{impo}} + \eta^k \hat{\mathbf{f}} - \mathbf{f}_{\text{int}}^k + \delta \eta^{k+1} \hat{\mathbf{f}} = \mathbf{K} \delta \mathbf{d}^{k+1} + \mathbf{C}^\top \delta \boldsymbol{\lambda}_1^{k+1} + \mathbf{C}^\top \delta \boldsymbol{\lambda}_2^{k+1} \\ \mathbf{d}_{\text{impo}} + \eta^k \hat{\mathbf{d}} - \mathbf{d}^k + \delta \eta^{k+1} \hat{\mathbf{d}} = \mathbf{C} \delta \mathbf{d}^{k+1} + \mathbf{I} \delta \boldsymbol{\lambda}_1^{k+1} - \mathbf{I} \delta \boldsymbol{\lambda}_2^{k+1} \\ \mathbf{d}_{\text{impo}} + \eta^k \hat{\mathbf{d}} - \mathbf{d}^k + \delta \eta^{k+1} \hat{\mathbf{d}} = \mathbf{C} \delta \mathbf{d}^{k+1} - \mathbf{I} \delta \boldsymbol{\lambda}_1^{k+1} + \mathbf{I} \delta \boldsymbol{\lambda}_2^{k+1} \end{cases}$$

$$\begin{aligned} & := -\tilde{\mathbf{r}}^k & & := \tilde{\mathbf{f}} & & := \tilde{\mathbf{K}}^k \delta \mathbf{x}^{k+1} \end{aligned}$$

- Une nouvelle inconnue,  $\eta$ , et une nouvelle équation :

$$P(\mathbf{d}, \boldsymbol{\lambda}, \eta; \tau) = 0$$

- Décomposition du vecteur solution (déplacements et multiplicateurs de Lagrange) :

$$\delta \mathbf{x}^{k+1} = \delta \eta^{k+1} \delta \mathbf{x}_I^{k+1} + \delta \mathbf{x}_{II}^{k+1}, \quad \delta \mathbf{x}_I^{k+1} = (\tilde{\mathbf{K}}^k)^{-1} \tilde{\mathbf{f}}, \quad \delta \mathbf{x}_{II}^{k+1} = -(\tilde{\mathbf{K}}^k)^{-1} \tilde{\mathbf{r}}^k$$

### 3. Stratégie de résolution de l'équation de pilotage

- ❑ Décomposition du champs de déplacement

$$\delta \mathbf{d}^{k+1} = \delta \eta^{k+1} \delta \mathbf{d}_I^{k+1} + \delta \mathbf{d}_{II}^{k+1}$$

- ❑ Si **P est différentiable** → calcul direct de l'incrément du facteur de charge (De Borst, 1987)

$$\delta \eta^{k+1} = - \frac{P^k + (\partial_{\mathbf{d}} P)^k \delta \mathbf{d}_{II}^{k+1}}{(\partial_{\mathbf{d}} P)^k \delta \mathbf{d}_I^{k+1} + (\partial_{\eta} P)^k}$$

Incrément de la variable pilotée (ex., une mesure de déformation, la variable d'endommagement, une variable interne de la loi de comportement, ...)

- ❑ Si **P n'est pas différentiable**  $P^{k+1} = \max_{\alpha \in \Omega^h} (\Delta z_{\alpha}^{k+1}) - \tau = 0$

- Approche itérative de type « intervalles emboîtés » (Lorentz et Badel, 2004; Rastiello et al., 2019)
- Résolution de l'équation de pilotage pour chaque entité

$$P_{\alpha}^{k+1} = \Delta z_{\alpha}^k + \delta z_{\alpha}^{k+1} (\delta \eta_{\alpha}^{k+1}) - \tau = 0 \quad \alpha \in \Omega^h$$

$$\delta z_{\alpha}^{k+1} (\delta \eta_{\alpha}^{k+1}) = \delta z_{\alpha}^{k+1} (\delta \eta_{\alpha}^{k+1}; \delta \mathbf{d}_I^{k+1}, \delta \mathbf{d}_{II}^{k+1})$$

Quantités connues

- Réduction progressive du domaine d'admissibilité du facteur de chargement
- Choix du facteur de chargement

R. De Borst, Computation of post-bifurcation and post-failure behavior of strain-softening solids. *Computers & Structures*, 25(2):211–224, 1987

E. Lorentz, & P. Badel, A new path-following constraint for strain-softening finite element simulations. *Int. Journal for Numerical Methods in Engineering*, 60: 499-526, 2004

G. Rastiello, F., Riccardi, & B. Richard. Discontinuity-scale path-following methods for the embedded discontinuity finite element modeling of failure in solids. *Computer Methods in Applied Mechanics and Engineering*, 349, 431-457, 2019

### 1 - Pilotage sur la combinaison linéaire d'un ensemble de DDLs – CNDI (De Borst, 1987...)

#### ❑ Fonction de pilotage

Vecteur de sélection  
des DDLs

$$P^{k+1} = \mathbf{p}^\top \Delta \mathbf{d}^{k+1} - \Delta \tau = \mathbf{p}^\top (\Delta \mathbf{d}^k + \delta \mathbf{d}_I^{k+1} \delta \eta^{k+1} + \delta \mathbf{d}_{II}^{k+1}) - \tau = 0$$

#### ❑ Résolution

$$\delta \eta^{k+1} = \frac{\tau - a_0}{a_1} \quad a_0 = \mathbf{p}^\top (\Delta \mathbf{d}^k + \delta \mathbf{d}_{II}^{k+1}) \quad a_1 = \mathbf{p}^\top \delta \mathbf{d}_I^{k+1}$$

❑ Points forts : méthode très robuste, reproduction des méthodes expérimentales de pilotage indirect du chargement, calcul direct du facteur de chargement (aucune procédure itérative n'est à prévoir), pas de dépendance aux lois constitutives

❑ Faiblesses : le choix des DDLs pilotés est « arbitraire » et nécessite la connaissance « à priori » du processus d'endommagement/fissuration, sélection de la solution dissipative non garantie



## 2 - Pilotage sur une mesure scalaire de l'incrément maximal de déformation dans le domaine – CMSI

- ❑ Fonction de pilotage

$$P^{k+1} = \max_{\alpha \in \Omega^h} (\mathbf{q}_\alpha^\top \Delta \boldsymbol{\varepsilon}_\alpha^{k+1}) - \tau = 0 \quad \mathbf{q}_\alpha = \boldsymbol{\varepsilon}_{\alpha,n} / \|\boldsymbol{\varepsilon}_{\alpha,n}\|$$

- ❑ Résolution point de Gauss par point de Gauss

$$\delta \eta_\alpha^{k+1} = \frac{\tau - a_{\alpha,0}}{a_{\alpha,1}} \quad a_{\alpha,0} = \mathbf{q}_\alpha^\top \mathbf{B}_\alpha (\Delta \mathbf{d}^k + \delta \mathbf{d}_{II}^{k+1}) \quad a_{\alpha,1} = \mathbf{q}_\alpha^\top \mathbf{B}_\alpha \delta \mathbf{d}_I^{k+1}$$

- ❑ Points forts : méthode très robuste, aucun choix arbitraire n'est nécessaire, pas de dépendance aux lois constitutives
- ❑ Faiblesses : sélection de la solution dissipative non garantie

## 3 - Pilotage sur le prédicteur élastique du critère d'endommagement – CMEP (Lorentz et Badel, 2004)

## ❑ Fonction de pilotage

$$P^{k+1} = \max_{\alpha \in \Omega^h} (f_{\alpha}^{\text{elas},k+1}) - \tau = 0, \quad \tau > 0$$

Prédicteur élastique -  
variables internes figées  
au pas de temps  
précédent

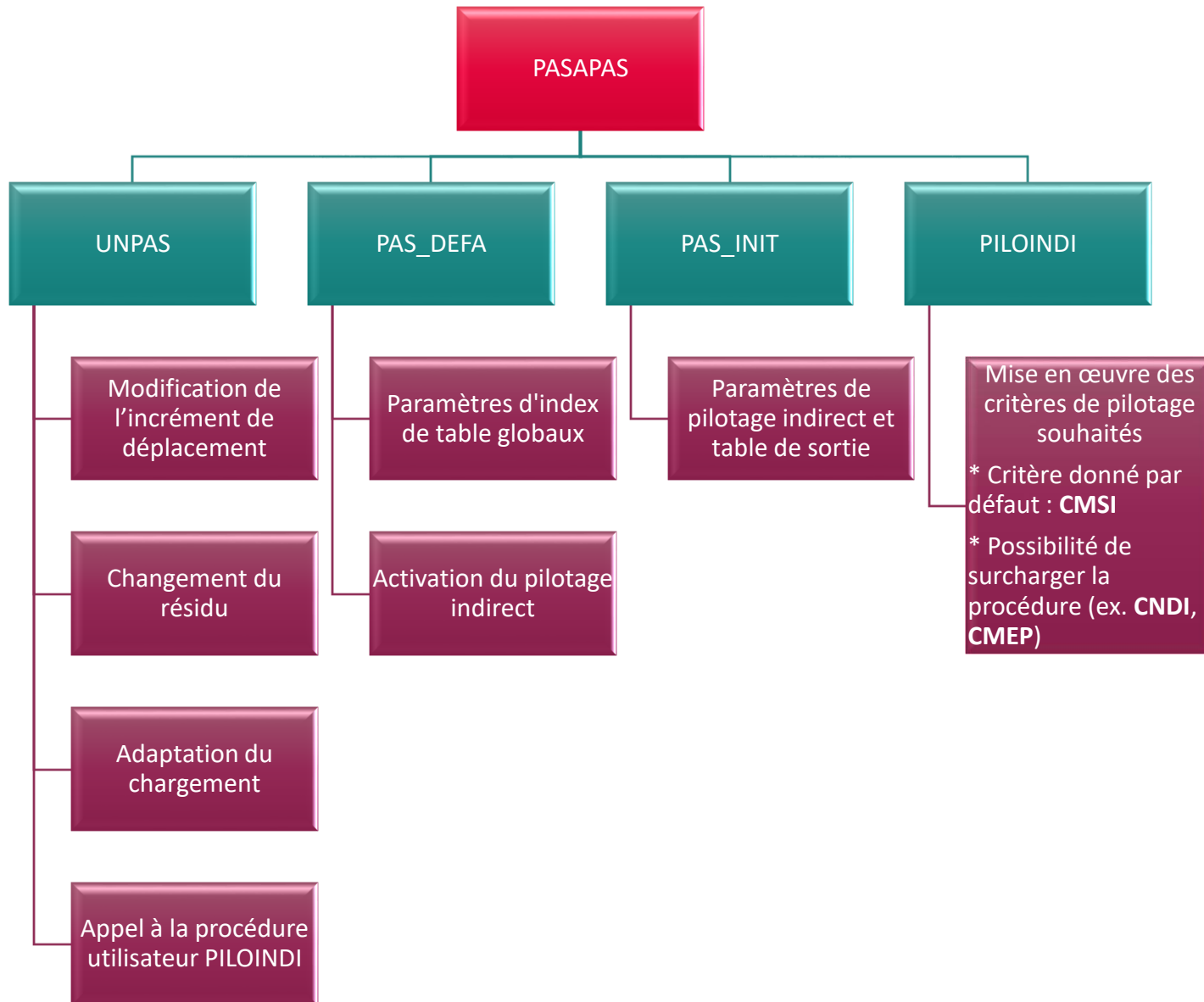
$$f_{\alpha}^{\text{elas}}(0) = f(Y_{\alpha}(\epsilon_{\alpha}^{k+1}(0), \kappa_{\alpha,n}), \epsilon_{\alpha}^{k+1}(0), \kappa_{\alpha,n}) \quad \epsilon_{\alpha}^{k+1}(0) = \epsilon_{\alpha,n} + \Delta \epsilon_{\alpha}^k + \delta \epsilon_{\alpha,II}^{k+1}$$

❑ Résolution point de Gauss par point de Gauss : linéarisation du prédicteur élastique autour d'une solution de référence

$$\delta \lambda_{\alpha}^{k+1} = \frac{\tau - a_{\alpha,0}}{a_{\alpha,1}} \quad a_{\alpha,0} = f_{\alpha}^{\text{elas}}(0) \quad a_{\alpha,1} = \partial_{\delta \lambda} f_{\alpha}^{\text{elas}}(0)$$

$$f_{\alpha}^{\text{elas}}(0) = f(Y_{\alpha}(\epsilon_{\alpha}^{k+1}(0), \kappa_{\alpha,n}), \epsilon_{\alpha}^{k+1}(0), \kappa_{\alpha,n}) \quad \epsilon_{\alpha}^{k+1}(0) = \epsilon_{\alpha,n} + \Delta \epsilon_{\alpha}^k + \delta \epsilon_{\alpha,II}^{k+1}$$

❑ Points forts : sélection de la solution dissipative❑ Faiblesses : recherche itérative de l'incrément de chargement (cout de calcul !), implémentation numérique dépendante de la loi de comportement



## 3.4 Implémentation dans Cast3M

### Programme principal

```
*----- Pilotage en force ---
*****
TAB1 . 'PILOTAGE_INDIRECT'      = VRAI ;
TAB1 . 'FORCES_PILOTEES'        = Fchapeau ;
TAB1 . 'PARAMETRE_DE_PILOTAGE' = evol1 ;
```

```
*----- Pilotage en déplacement ---
*****
TAB1 . 'PILOTAGE_INDIRECT'      = VRAI ;
TAB1 . 'DEPLACEMENTS_PILOTES'  = Dchapeau ;
TAB1 . 'PARAMETRE_DE_PILOTAGE' = evol1 ;
```



### Procédure PILOINDI (appelée à chaque itération d'un pas)

```
*----- Procédure utilisateur ---
*****
'DEBPROC' PILOINDI
  TAB1  *'TABLE'
  DEPT  *'CHPOINT'
  DELTAU*'CHPOINT'
  DUI   *'CHPOINT'
  DUII  *'CHPOINT'
  DTAU  *'FLOTTANT';
*****
...
...
*****
'FINPROC' D ETA ;
```

Cette table est la même que PRECED de UNPAS. Elle contient des informations générales concernant la structure, le matériau, le modèle...

Champ de déplacement accumulé depuis le début de l'analyse jusqu'au pas de temps actuel

Variation de déplacement accumulée dans le pas de temps courant  $\Delta \mathbf{d}^k$

Incrément de déplacement  $\delta \mathbf{d}_I^{k+1}$

Incrément de déplacement  $\delta \mathbf{d}_{II}^{k+1}$

Valeur de  $\tau$  valide pour le pas de temps courant

Valeur de  $\delta \eta$  (en fonction du critère de pilotage);

Exemple **simple** de  
« surchargement » de  
la procédure PILOINDI

(Formulation CNDI)

```
'DEBP' PILOINDI PRECED*'TABLE' U*'CHPOINT'
DU*'CHPOINT' DUI*'CHPOINT'
DUII*'CHPOINT' DTAU*'FLOTTANT';
```

```
WTAB = PRECED.'WTABLE' ;
MODTOT = WTAB.'MO_TOT' ;
```

\* Équation de pilotage indirect

```
UU3 = 'EXTR' DU 'UX' PIN.((NELX+3)/2) ;
UU2 = 'EXTR' DU 'UX' PIN.((NELX+1)/2) ;
Pk = (UU3 - UU2) + (-1.0*DTAU) ;
```

\* Dérivée de l'équation de pilotage par rapport au déplacement

```
HK = 'MANU' 'CHPO' PIN.((NELX+3)/2) 'UX' 1. ;
HK = HK + ('MANU' 'CHPO' PIN.((NELX+1)/2) 'UX' -1.) ;
```

```
COMP_PF = 'MOTS' 'UX' 'UY' ;
```

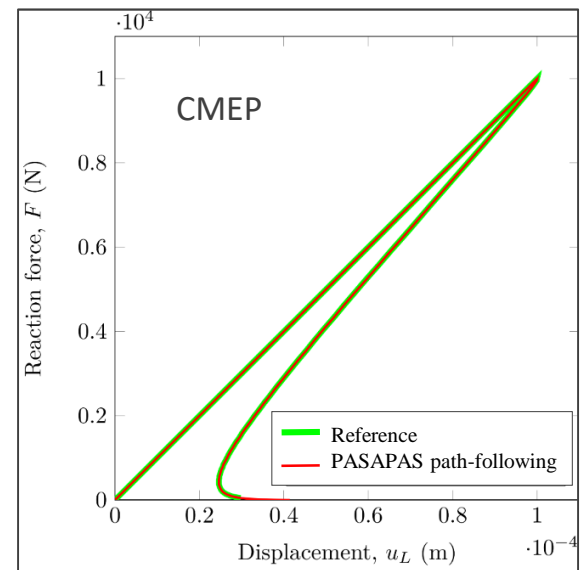
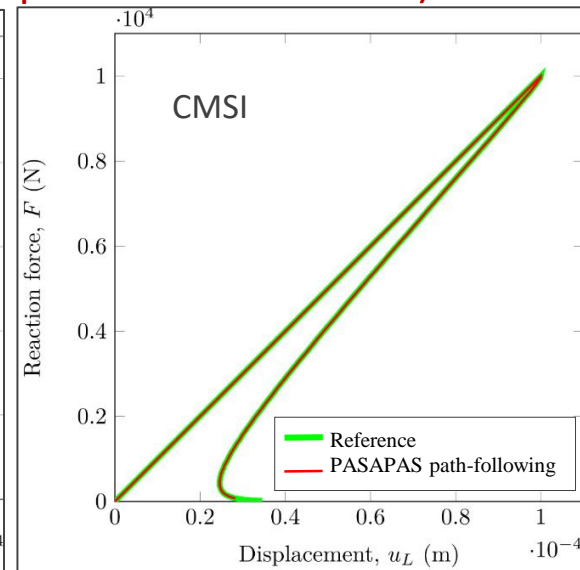
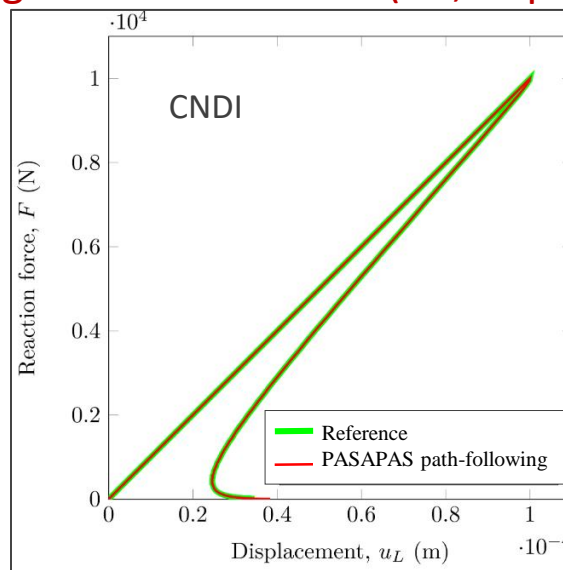
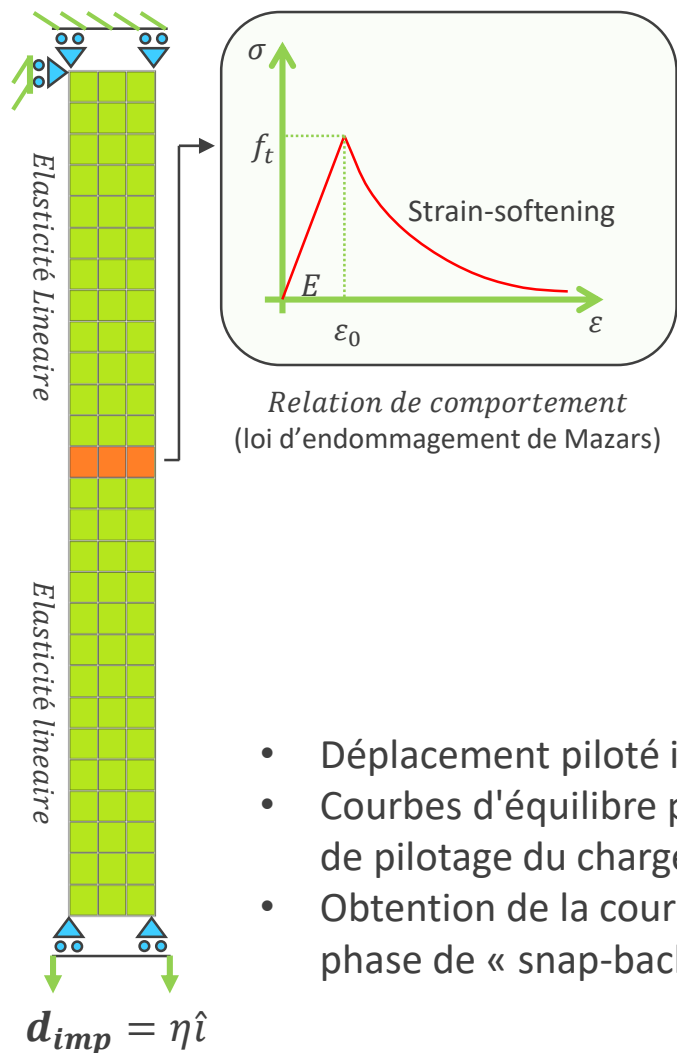
\* Calcul de D\_eta

```
AUX1 = 'XTY' HK duI COMP_PF COMP_PF ;
AUX2 = 'XTY' HK duII COMP_PF COMP_PF ;
```

```
D_eta= (-1.0)*((Pk+AUX1)/AUX2) ;
```

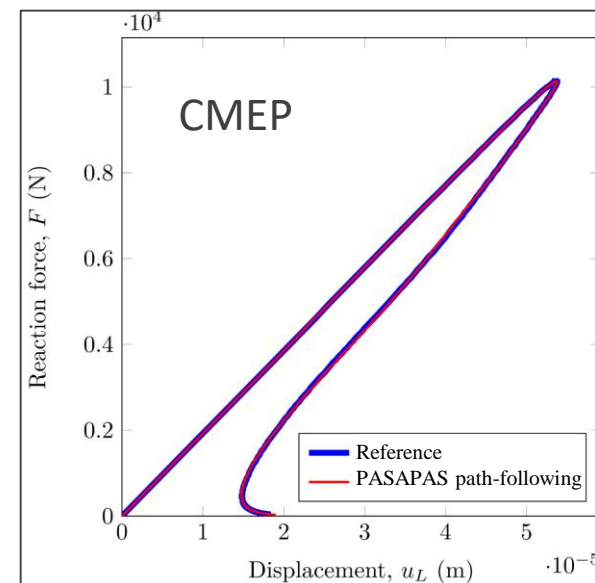
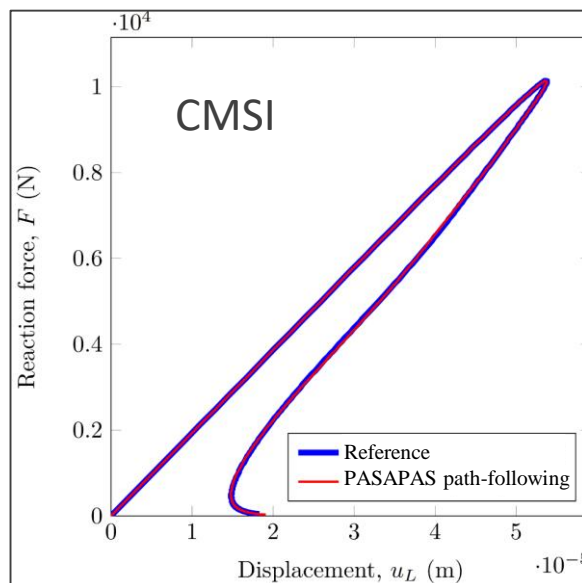
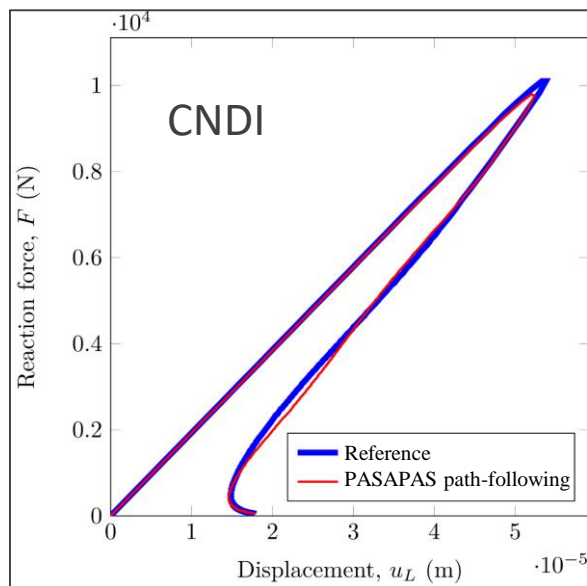
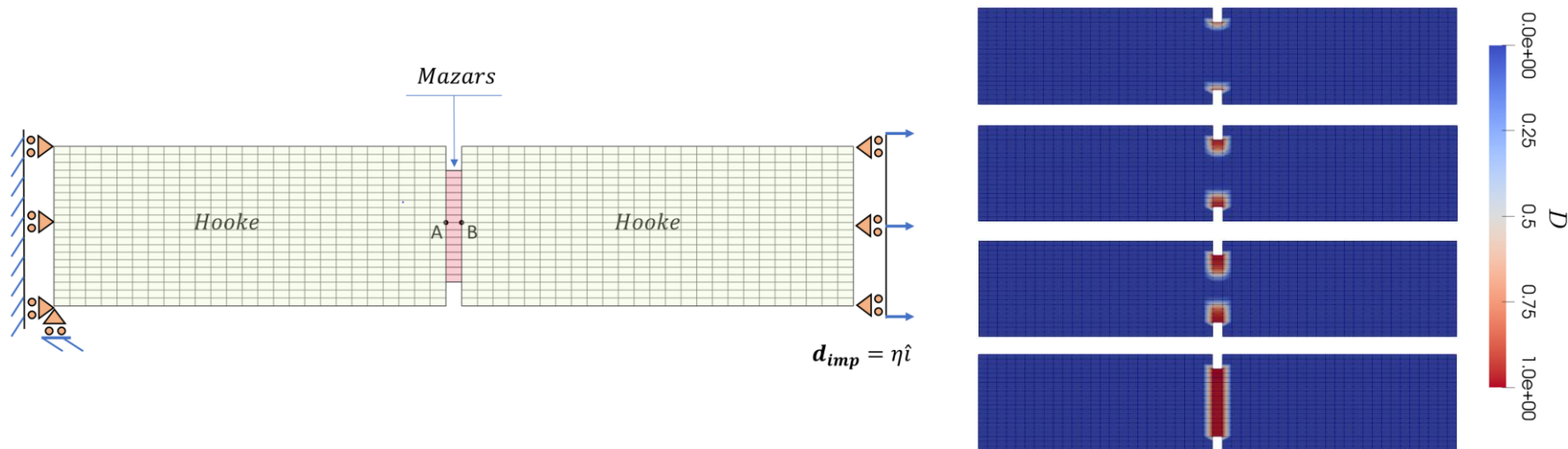
```
'FINPROC' D_ETA ;
```

## 4.1 Barre affaiblie soumise à un chargement de traction (2D, dépl. piloté indirectement)

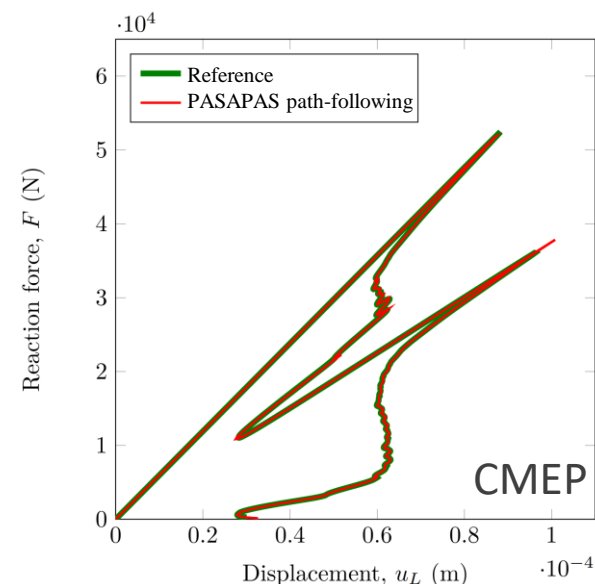
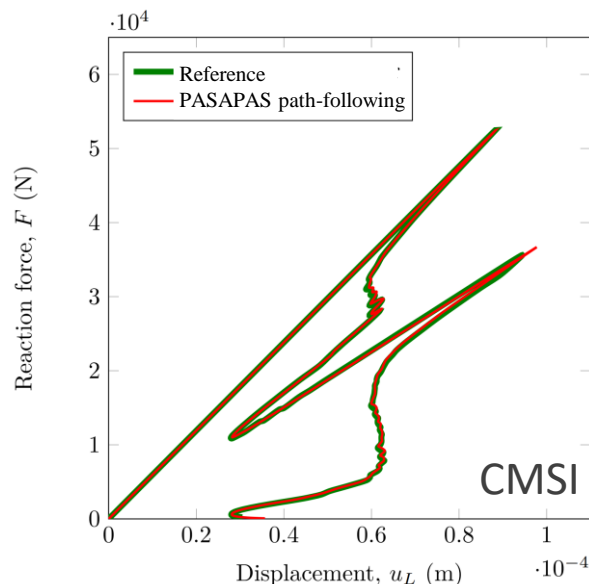
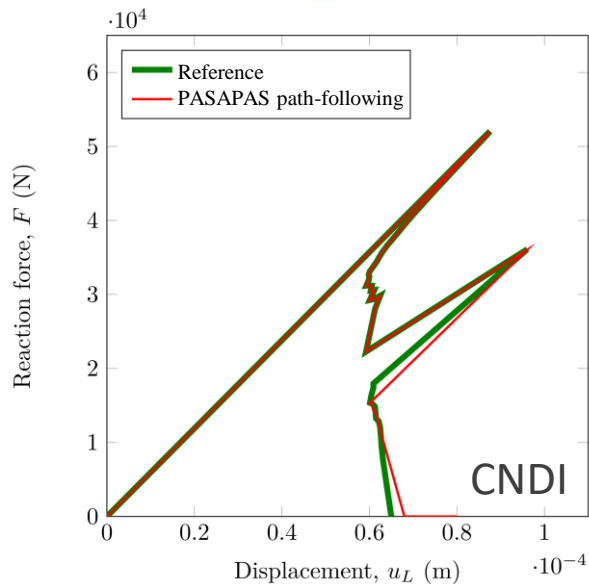
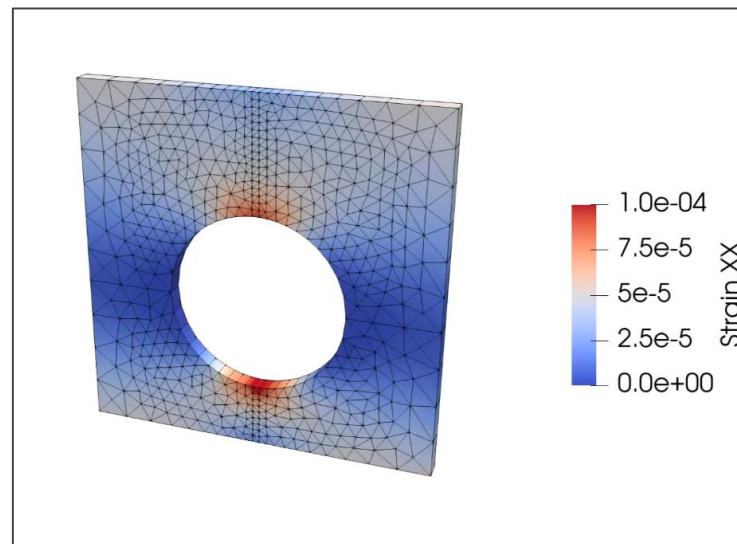
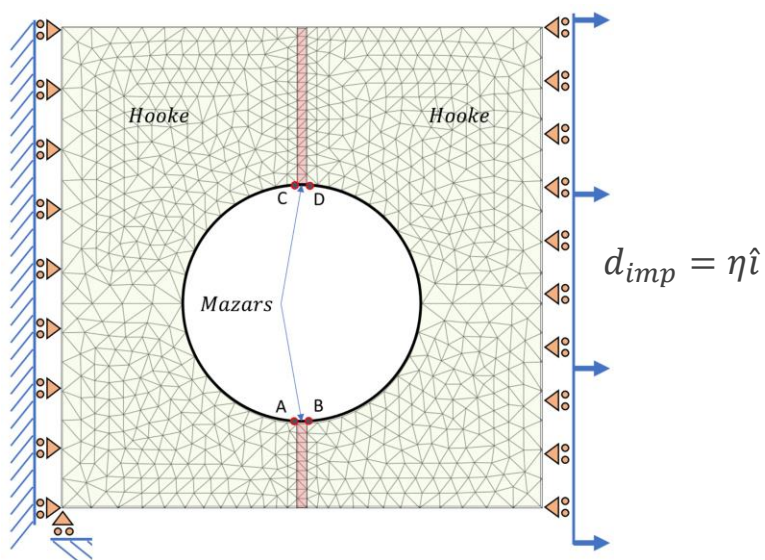


- Déplacement piloté indirectement
- Courbes d'équilibre pour trois différentes équations de pilotage du chargement
- Obtention de la courbe complète, y compris la phase de « snap-back »

## 4.2 Barre avec encoches soumise à un chargement de traction (2D, dépl. piloté indirectement)



## 4.3 Plaque trouée (3D, dépl. piloté indirectement)





### Conclusions

- Bon fonctionnement des techniques de pilotage indirect de chargement dans l'environnement Cast3M
- Flexibilité pour mettre en œuvre différents types de critères (ex. : CNDI, CMSI, CMEP, autre selon besoin)
- Possibilité de capturer des courbes d'équilibre sujettes à des instabilités de type « *snap-back* » et « *snap-through* »
- Capacité à gérer simultanément des conditions limites (forces/déplacements) pilotées et non pilotées

### Perspectives

- Mise à disposition des premiers développements dans la version Cast3M 2021
- Nouvelle procédure PILOINDI : implémentation standard et possibilité de surcharger la procédure pour définir des critères de pilotage définis par l'utilisateur
- Rédaction et mise à disposition de notices et de supports théoriques

# Merci de votre attention !



## Implementing path-following techniques for structural non-linear analysis using Cast3M

Club Cast3M 2020, 27 novembre 2020

DE LA RECHERCHE À L'INDUSTRIE

Hugo Luiz OLIVEIRA, Giuseppe RASTIELLO, Alain MILLARD

Université Paris-Saclay, CEA, Service d'études mécaniques et thermiques, 91191, Gif-sur-Yvette, France

Ibrahim BITAR, Benjamin RICHARD

Institut de Radioprotection et de Sûreté Nucléaire (IRSN), PSN-EXP/SES/LMAPS, 92262 Fontenay-aux-Roses Cedex, France